

京都大学防災研究所 正員 芦田和男
 京都大学防災研究所 正員 高橋 保
 名城大学理工学部 正員 新井宗之
 京都大学 工学部 学員 ハ木秀樹

1. まえがき：本研究は、防災設計上重要な流路弯曲部における土石流の流动特性に関して実験的研究を行い、射流弯曲流に特有な水面形ならびに転波列の特性を種々の濃度($C=0 \sim 0.4$)に対して明らかにするとともに、衝撃波理論を用いたKnappの式および自由渦の条件を用いたC.W.Lenauの理論を検討して、流路弯曲部における水面形の予測を提案するものである。

2. 実験条件および方法：実験水路は幅20cm長さ約17mの直線部と偏角45°の弯曲部からなる、といふ。直線部の水路には粗度として5mmの砾が貼付してある。弯曲部の水路は流下方向に10°の勾配を持っており、半径方向には水平である。実験条件、実験材料は表・1に示すとおりである。水位の測定には16ミリシネカメラ、35ミリカメラを用いた。また、清水($C=0$)の実験ではポイントゲージも用いた。

3. 実験結果の考察：Lenauは台形断面、及び矩形断面の弯曲部における射流の水面形を解析した。エネルギー式、連続式、および自由渦の条件式は円筒座標系で矩形断面について、

$$\frac{V_r^2 + V_\theta^2}{2g} + h = \frac{U^2}{2g} + h_0 \quad \dots (1), \quad \frac{\partial(h_0 U)}{\partial r} + \frac{\partial(U V_\theta)}{\partial \theta} = 0 \quad \dots (2)$$

$$\frac{\partial V_r}{\partial \theta} = \frac{\partial(V_r V_\theta)}{\partial r} \quad \dots (3)$$

を用い、 $\varepsilon = h_0/r_0$ に関する一次摂動解として次式を得ている。

$$h = h_0 + \varepsilon \quad \dots (4)$$

$$E = \frac{U h_0^2}{\sqrt{gh_0} r_0} \sum_{k=0}^{\infty} (-1)^k \left\{ \delta[x - (k_p p + \frac{1}{2} p - y) F_0] - \delta[x - (k_p p + \frac{1}{2} p + y) F_0] \right\} \quad \dots (5)$$

ここで、 $x = r_0 \theta / h_0$, $y = (r - r_0) / h_0$, $p = b / h_0$, $F_0 = U / \sqrt{gh_0}$, U : $\theta = 0$ における流速, r_0 : 水路の中心曲率半径, h_0 : $\theta = 0$ における水深, b : 水路幅, δ : 垂直加速度, h : 水深である。また、 $\delta(t)$ は $\delta(t) = 0$ ($t \leq 0$), $\delta(t) = t$ ($t > 0$)とする関数である。Lenauの取り扱いではKnappらのもののよう限界角変化量に相当する制限がない。

3.1 外壁水深：実験結果によると外壁水深は濃度が高くなると若干高くなる傾向があるが、顕著な差は認められなかった。図・1(a)～(d)は $r_0 = 40/100$ cm, $Q = 1, 3 l/s$ および $C = 0 \sim 0.4$ の水路外壁に沿う水面形の実測値(OEP) および計算値(破線はKnappの式、実線はLenauの式)を示している。図中の横軸は外壁に沿った長さ及び偏角を示している。水深は転波列を除いた部分の平均値である。Knappによる計算値は実験値よりやや大きな値になる傾向があり、Lenauによる計算値は比較的よく一致している。図・1(c), (d)において破線が途中でなくなっているのはKnappの式では適用限界の角

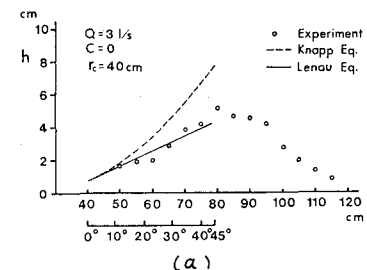
表・1

実験条件

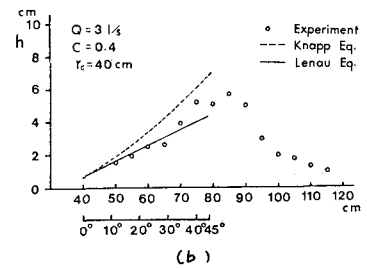
容積濃度	流量 l/s	曲率半径 cm
0	1	40
0.2	2	60
0.4	3	100

実験材料 ($\sigma = 2.65 g/cm^3$)

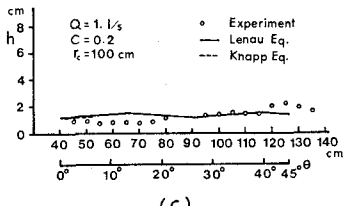
- 粒状大理石 (3mm)
 - 砂砂 7号 (0.15mm)
- | 1 : 1



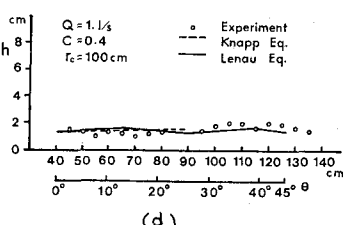
(a)



(b)



(c)



図・1 外壁水深

変化量があるからで、Lenauの式にはそのような制約がない。

3.2 横断水面形：Lenauの式では半径方向の水深も計算できる。図-2は実験結果と計算値の例である。よく一致している。

3.3 転波列による外壁水深：転波列を除いた水深を h 、転波列による水深を h_w とすれば、外壁の水深 H は

$$H = h + h_w \quad \dots (6)$$

である。 h_w についてもLenauの式で外壁沿いの変化が計算できるものと仮定し、弯曲入り口における h_w として、転波の波高系列から $\frac{1}{3}$ 有義波高を求めて用いた。図-3(a), (b)は計算結果の例である。一点破線が H の計算値で○が実験結果である。計算値と実験値は比較的よく一致している。

4. 外壁水位低下法：図-3を見てもわかるように、外壁の水位上昇は非常に高く、これを低下させることができれば設計上有利である。外壁の水位の上昇を軽減させる方法をLenauの式から考察してみよう。(5)式による最大水位は、

$$E_{max} = \frac{\sigma^2 b}{g r_z} \quad \dots (7)$$

であり、これは遠心力と横断水面勾配とが競り合うとする考え方による結果と同じである。いま水路幅 b を n 分割したとする。内壁の曲率半径を r_z 、内壁から i 番目の壁までの距離を b_i とする。それぞれの壁における E_{max} が同じになるように b_i の位置を決めると、

$$\left. \begin{aligned} b_i/b &= \sqrt{(r_z/b)^n + (r_z/b)^{n-1}} - r_z/b \\ b_i/b &= \frac{(b_{i+1}/b) - (b_i/b)}{r_z/b + b_i/b} \cdot \frac{r_z}{b} \\ b_i/b &= 1, \quad \text{ただし, } 2 \leq i \leq n-1 \end{aligned} \right\} \dots (8)$$

となる。さらに n 分割した E_{max} と分割しない E_{max} との比は、

$$E_{max}^* = \frac{E_{max}}{E_{max}} = \frac{(\sqrt{1+b/r_z}-1)/(\sqrt{1+b/r_z}+1)}{(b/r_z)/(2+b/r_z)} \quad \dots (9)$$

である。図-4は E_{max}^* と b/r_z との関係が示されている。これは流路を n 分割すると b/r_z が小さい場合 E_{max} は \sqrt{n} になることを示している。

また、流量 Q を一定として水路幅 b を変えた場合、 E_{max} を生じる水深 h_{max} と b との関係は、 $h_{max} = h_0 + E_{max} = b^{-\frac{3}{5}} \left(\frac{n Q}{I_z} \right)^{\frac{2}{5}} + b^{-\frac{1}{5}} \left(\frac{I_z^2 Q^4}{n^2} \right)^{\frac{1}{5}} \frac{1}{g r_z}$ (水流) $\dots (10)$

$$h_{max} = h_0 + E_{max} = b^{-\frac{3}{5}} \left(\frac{Q}{K} \right)^{\frac{2}{5}} + b^{-\frac{1}{5}} \left(\frac{Q}{K} \right)^{\frac{4}{5}} \frac{K^2}{g r_z}, \quad (\text{土石流}) \quad \dots (11)$$

ただし、 $K = \frac{2}{5d} \cdot \left\{ \frac{g \sin \theta}{a \sin \alpha} \cdot [C_d + (1-C_d) \cdot \frac{P}{a}]^{\frac{1}{2}} \cdot \left[\left(\frac{C_d}{a} \right)^{\frac{1}{3}} - 1 \right] \right\}$ となり土石

流の場合は水路幅 b が大きい程 h_{max} は小さくなるが、水流の場合は r_z の条件によって h_{max} を最小にする b が存在する。

5. おわりに：流路弯曲部における水面形は衝撃波の概念を用いたKnappらの式よりも自由湯仮定を用いたLenauの式の適用性のよいことを実験的に明らかにした。特に横断方向の水面形もうまく計算できることがわかった。また転波列の増幅については(6)式のように水深を分割して、それがLenauの式を適応するうまく説明できることがわかった。土砂濃度の影響については $C=0 \sim 0.4$ で上記のように取り扱えることがわかったが、さらに高濃度の場合について確かめる必要がある。外壁の水位を低下させる方法として弯曲部水路幅を分割する方法について述べたが、施工上の問題など今後検討しなければならない。

参考文献 C.W.Lenau ; Supercritical Flow in Bends of Trapezoidal Section, ASCE, EM1, FEB, 1979, pp. 43-54.

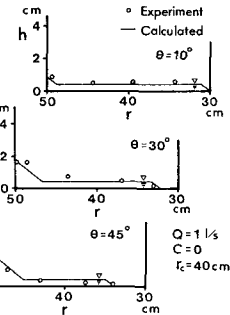
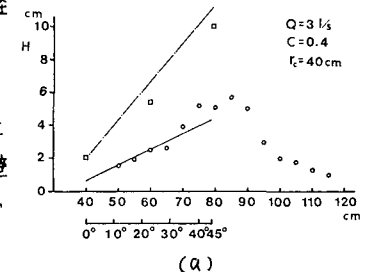
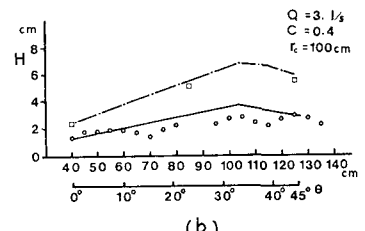


図-2 横断水面形



(a)



(b)

図-3 転波列による外壁水深

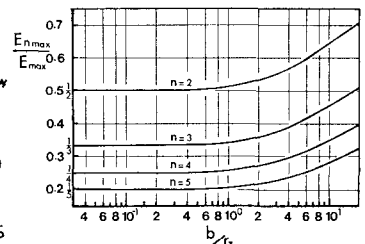


図-4 E_{max}^*/E_{max} と b/r_z の関係